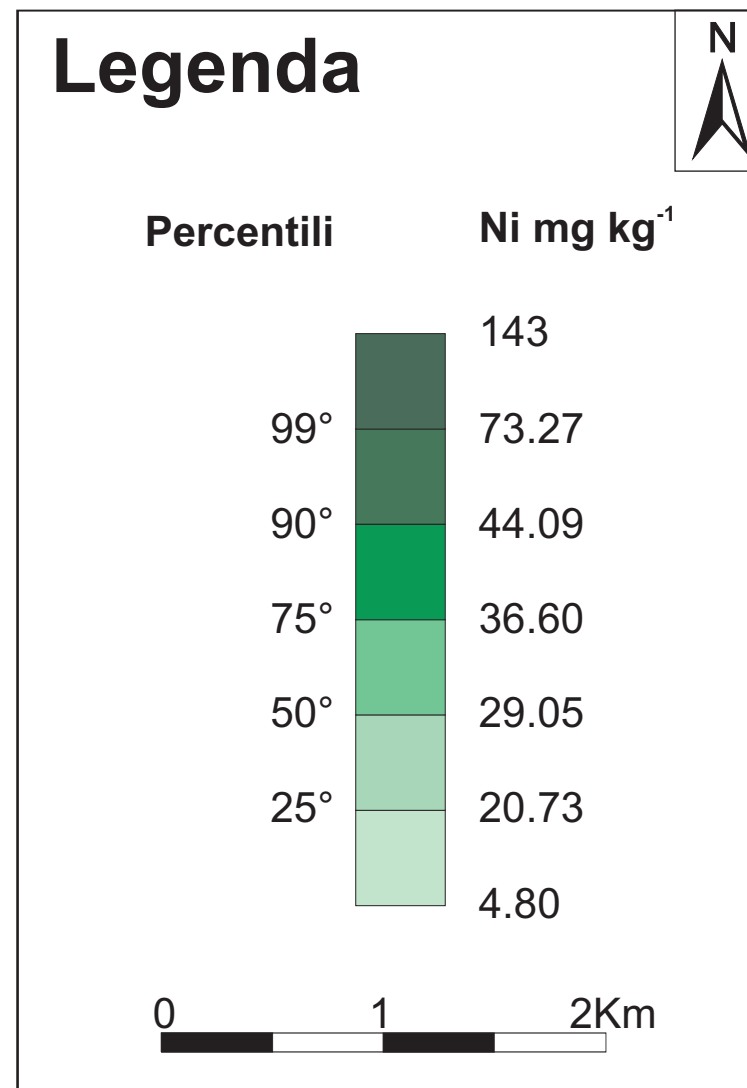
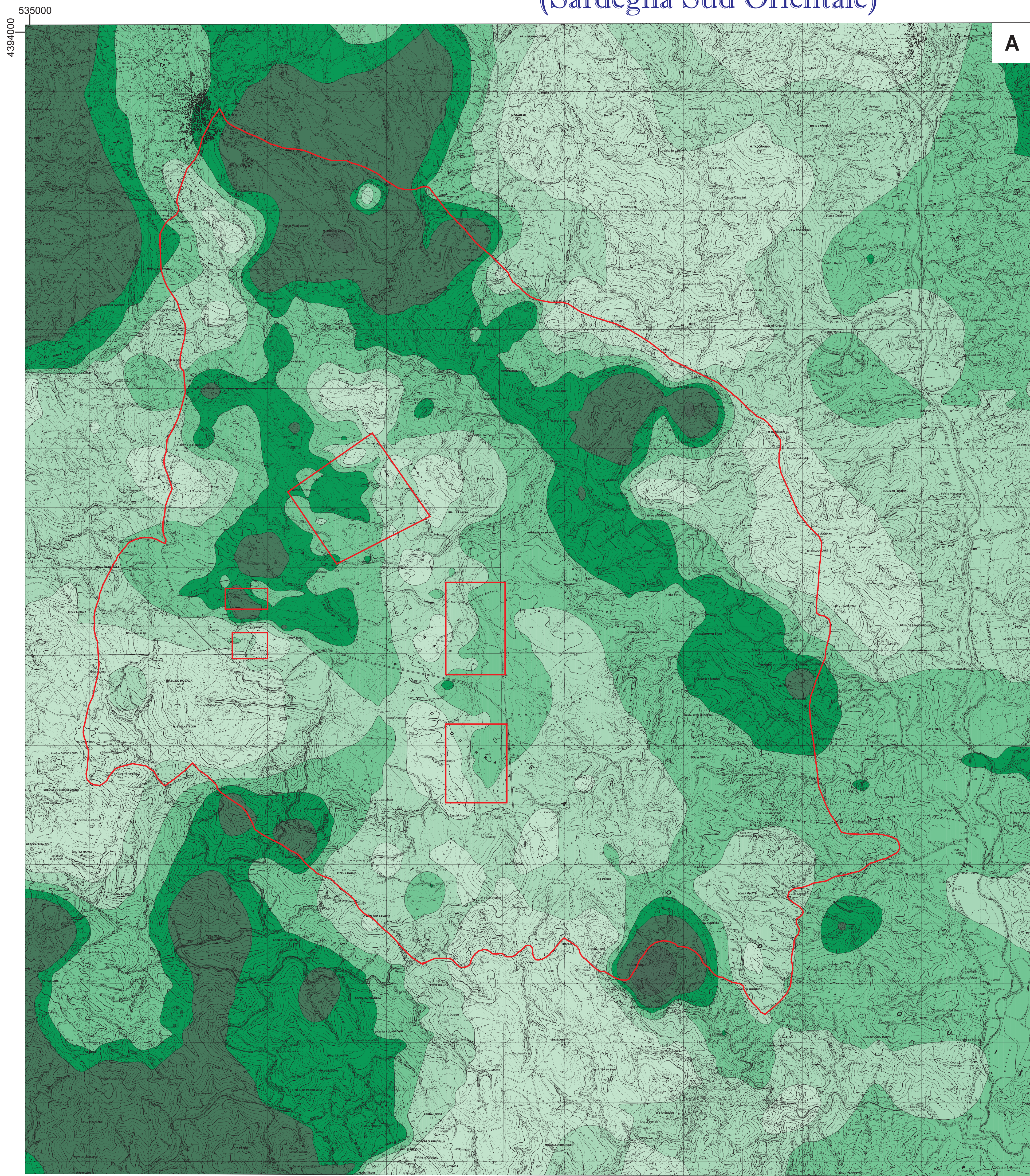


# CARTA DELLA DISTRIBUZIONE DEL NICHEL NEI SUOLI DELL'AREA DEI POLIGONI MILITARI DI SALTO DI QUIRRA (Sardegna Sud Orientale)



**POLIGONO DI PERDASDEFUGU**

Indici statistici	percentili
N° di dati	582
5 <sup>o</sup>	12.51
10 <sup>o</sup>	14.51
20 <sup>o</sup>	18.40
25 <sup>o</sup>	20.73
30 <sup>o</sup>	23.03
40 <sup>o</sup>	26.00
50 <sup>o</sup>	29.05
60 <sup>o</sup>	31.96
70 <sup>o</sup>	35.00
75 <sup>o</sup>	36.60
80 <sup>o</sup>	38.40
90 <sup>o</sup>	44.09
95 <sup>o</sup>	54.25
98 <sup>o</sup>	67.47
99 <sup>o</sup>	73.27

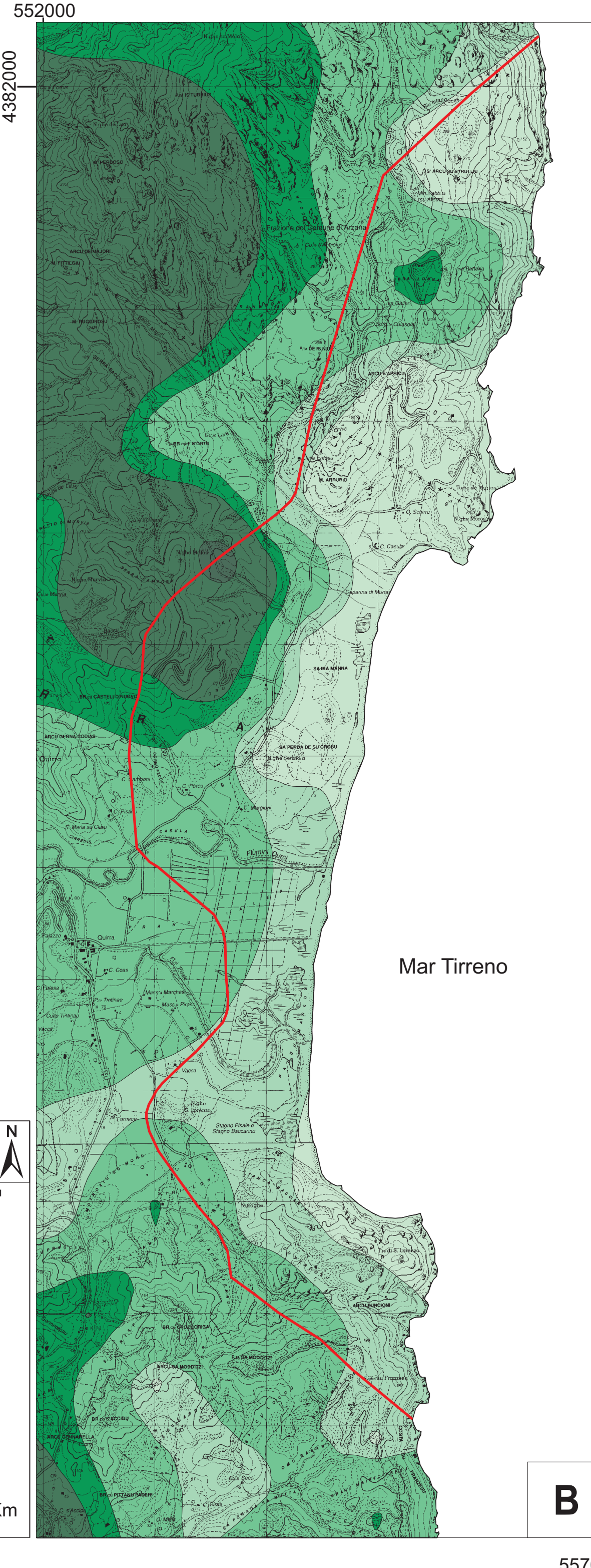
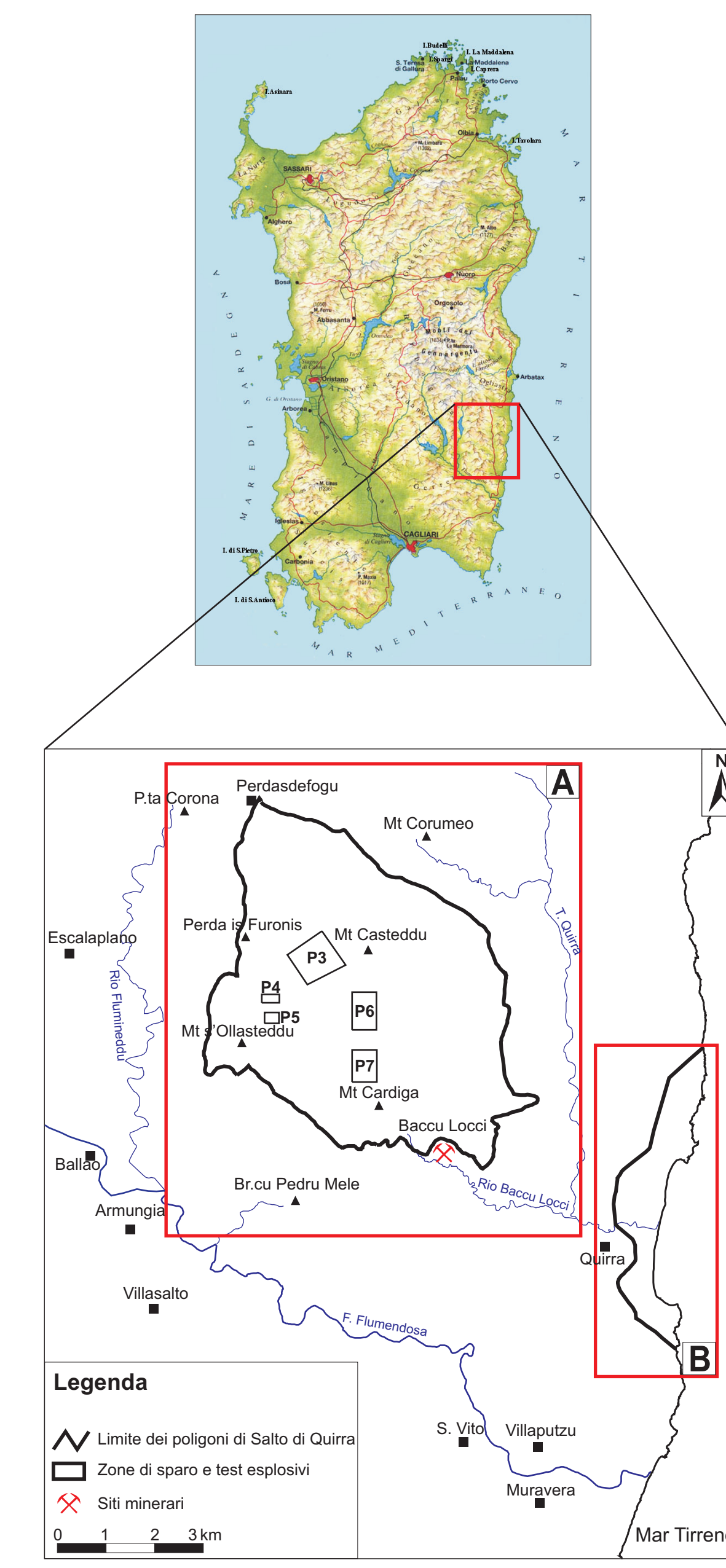
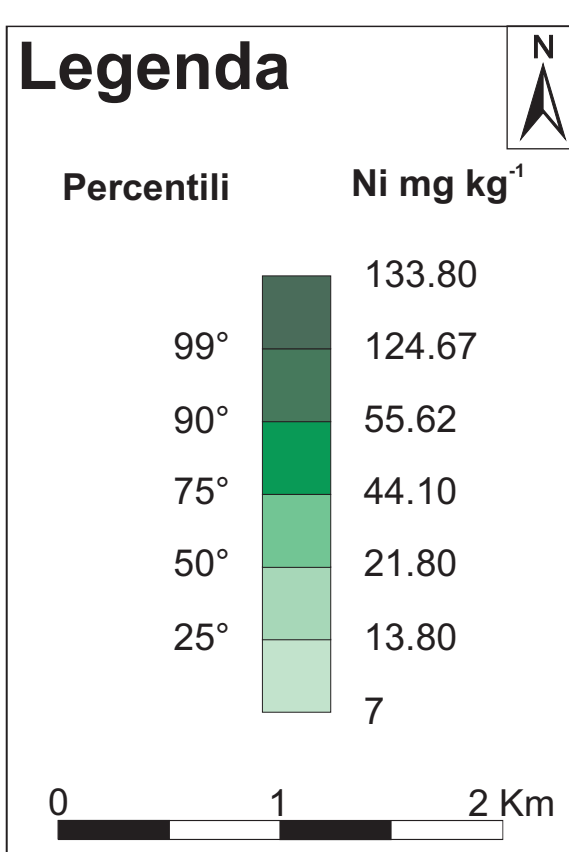
(dati in mg kg<sup>-1</sup>)



**POLIGONO DI CAPO S. LORENZO**

Indici statistici	percentili
N° di dati	57
5 <sup>o</sup>	7.28
10 <sup>o</sup>	8.96
20 <sup>o</sup>	12.43
25 <sup>o</sup>	13.80
30 <sup>o</sup>	15.18
40 <sup>o</sup>	19.14
50 <sup>o</sup>	21.80
60 <sup>o</sup>	32.70
70 <sup>o</sup>	39.42
75 <sup>o</sup>	44.10
80 <sup>o</sup>	45.36
90 <sup>o</sup>	55.62
95 <sup>o</sup>	78.92
98 <sup>o</sup>	114.85
99 <sup>o</sup>	124.67

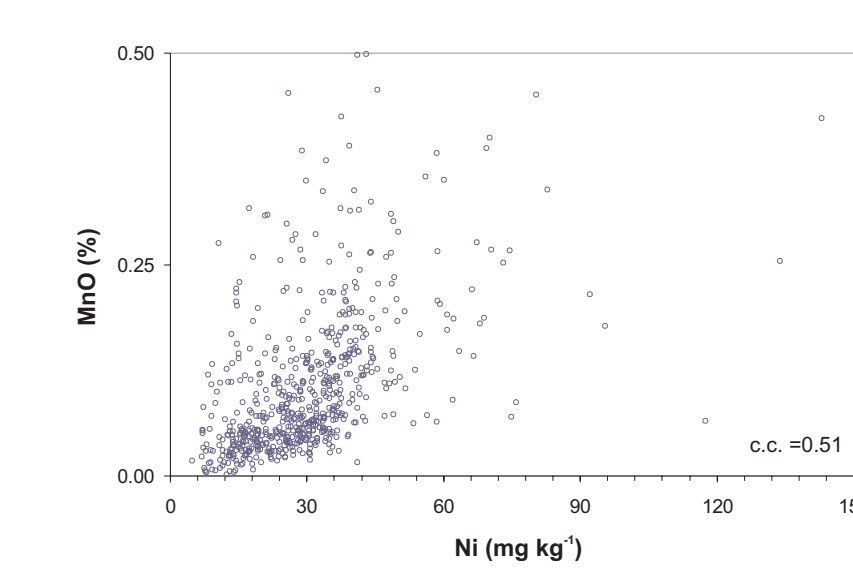
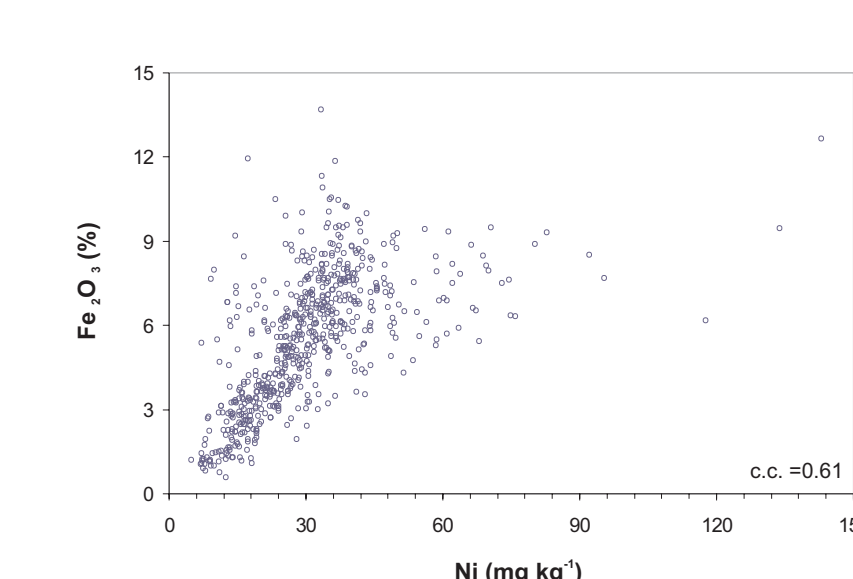
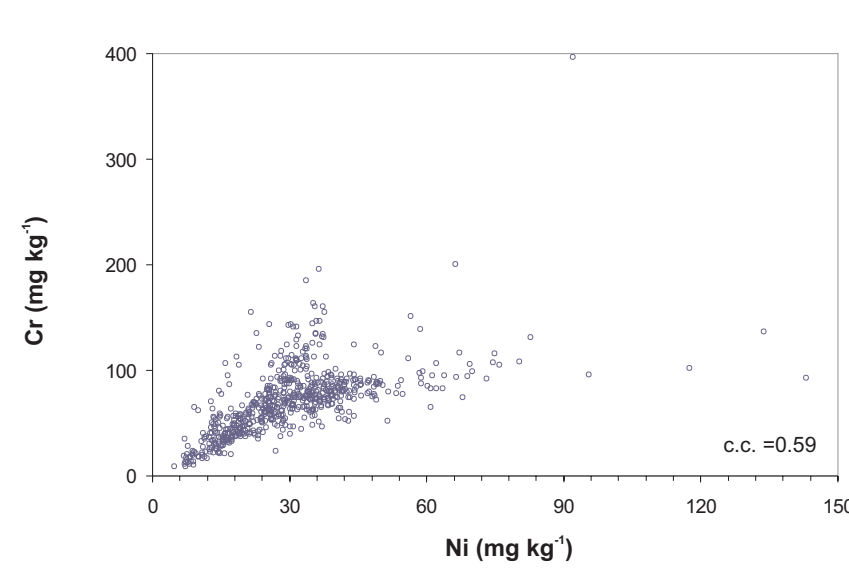
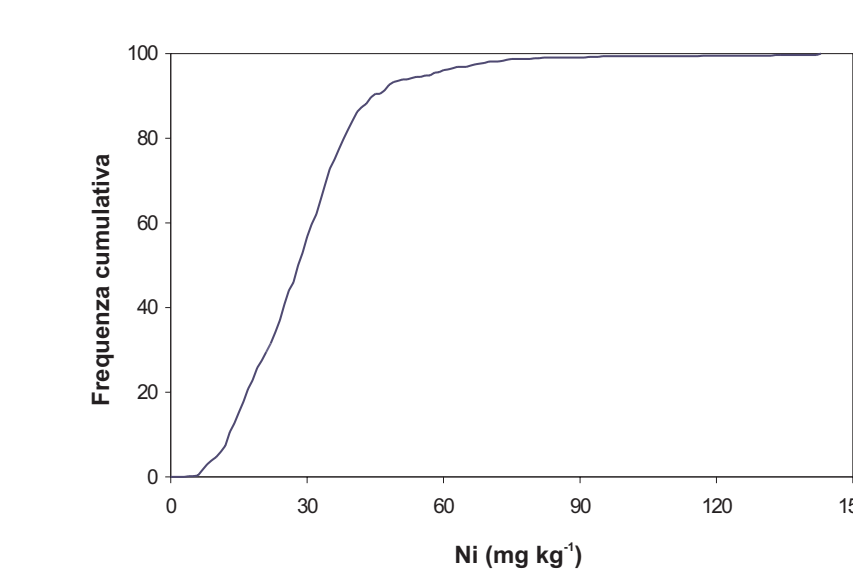
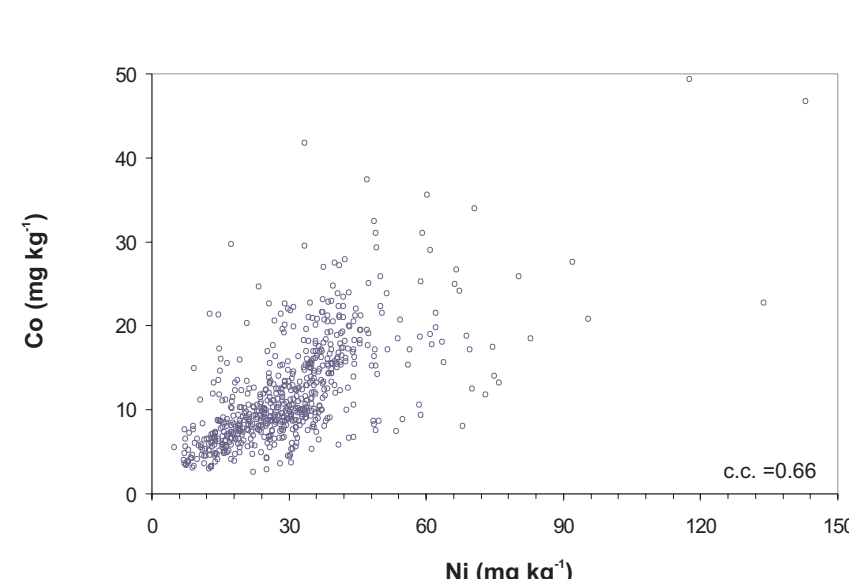
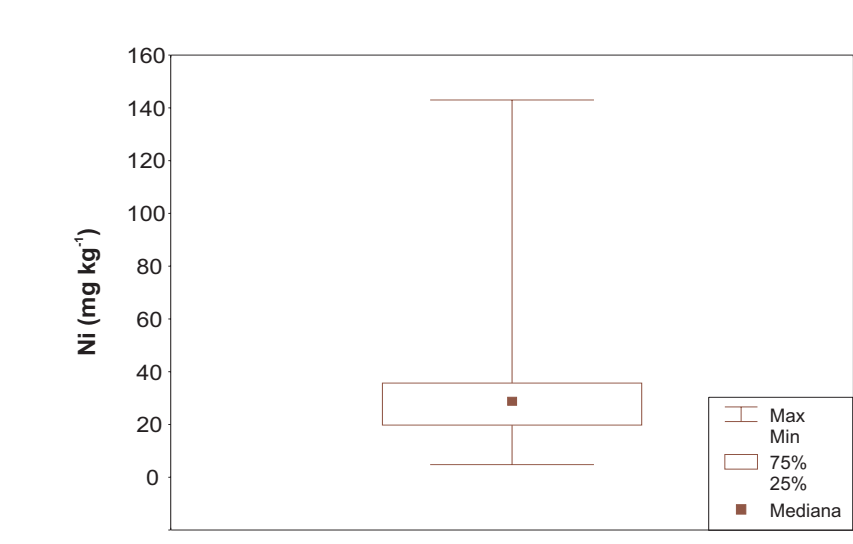
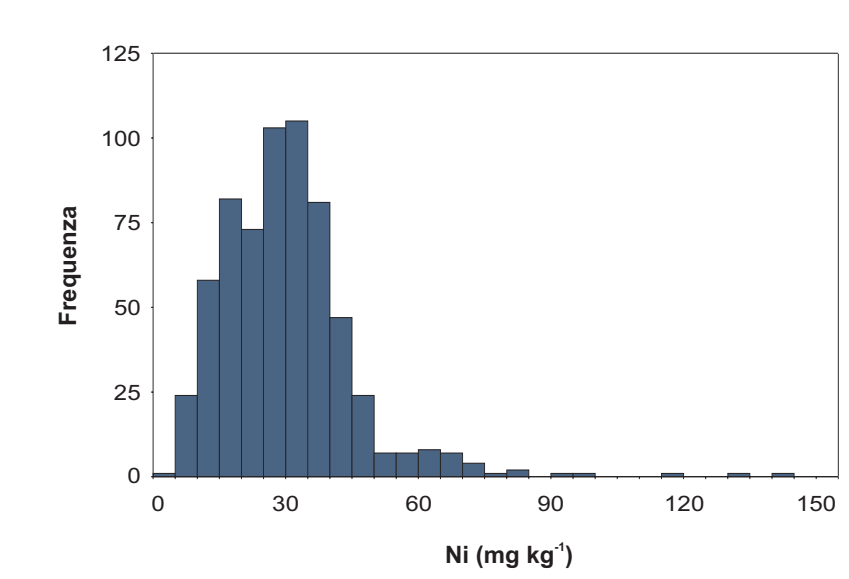
(dati in mg kg<sup>-1</sup>)



## Statistica dei dati dell'area del Salto di Quirra

Indici statistici	percentili
N° di dati	639
5 <sup>o</sup>	11.36
10 <sup>o</sup>	13.80
20 <sup>o</sup>	17.72
25 <sup>o</sup>	19.55
30 <sup>o</sup>	22.10
40 <sup>o</sup>	25.72
50 <sup>o</sup>	28.90
60 <sup>o</sup>	32.00
70 <sup>o</sup>	35.20
75 <sup>o</sup>	38.90
80 <sup>o</sup>	38.94
90 <sup>o</sup>	45.42
95 <sup>o</sup>	56.80
98 <sup>o</sup>	69.54
99 <sup>o</sup>	78.53

(dati in mg kg<sup>-1</sup>)



**Proprietà dell'elemento<sup>(9)</sup>**

simbolo	Ni
gruppo	VIII
numero atomico	28
peso atomico	58.69
densità (g cm <sup>-3</sup> )	8.908
punto di ebollizione (°C)	2920
punto di fusione (°C)	1455
struttura elettronica	[Ar]3d <sup>8</sup> 4s <sup>2</sup>
elettronegatività (eV)	1.8
stati di ossidazione	+2 +3
isotopi stabili	<sup>58</sup> Ni (68.08%), <sup>60</sup> Ni (26.22%) <sup>61</sup> Ni (1.14%), <sup>62</sup> Ni (3.63%) <sup>64</sup> Ni (0.93%)

**Principali fasi mineralogiche portatrici**

NiAs
NiAsS
(Fe,Ni) <sub>2</sub> S <sub>3</sub>
Ni-piroclorite
Fe <sub>2</sub> S <sub>3</sub> (contenente più del 5% di Ni)
NiSe <sub>2</sub>
Ni <sub>2</sub> S <sub>3</sub>
Ni <sub>3</sub> S <sub>4</sub>
(Ni,Mg) <sub>3</sub> (Si <sub>2</sub> O <sub>7</sub> )(OH) <sub>2</sub>

**Contenuti in natura**

abbondanza cosmica	4.93x10 <sup>-6</sup>
abbondanza crustale <sup>(1)</sup>	75 mg kg <sup>-1</sup>
rocce magmatiche <sup>(2)</sup>	2000 mg kg <sup>-1</sup>
rocce ultrafemiche	130 mg kg <sup>-1</sup>
rocce femiche (basalti)	4 mg kg <sup>-1</sup>
rocce intermedie (sieniti)	4.5 mg kg <sup>-1</sup>
rocce sialiche (graniti)	2 mg kg <sup>-1</sup>
rocce sedimentarie <sup>(3)</sup>	20 mg kg <sup>-1</sup>
argille ed argilli	60 mg kg <sup>-1</sup>
arenarie	2 mg kg <sup>-1</sup>
calcari	20 mg kg <sup>-1</sup>

**suoli**

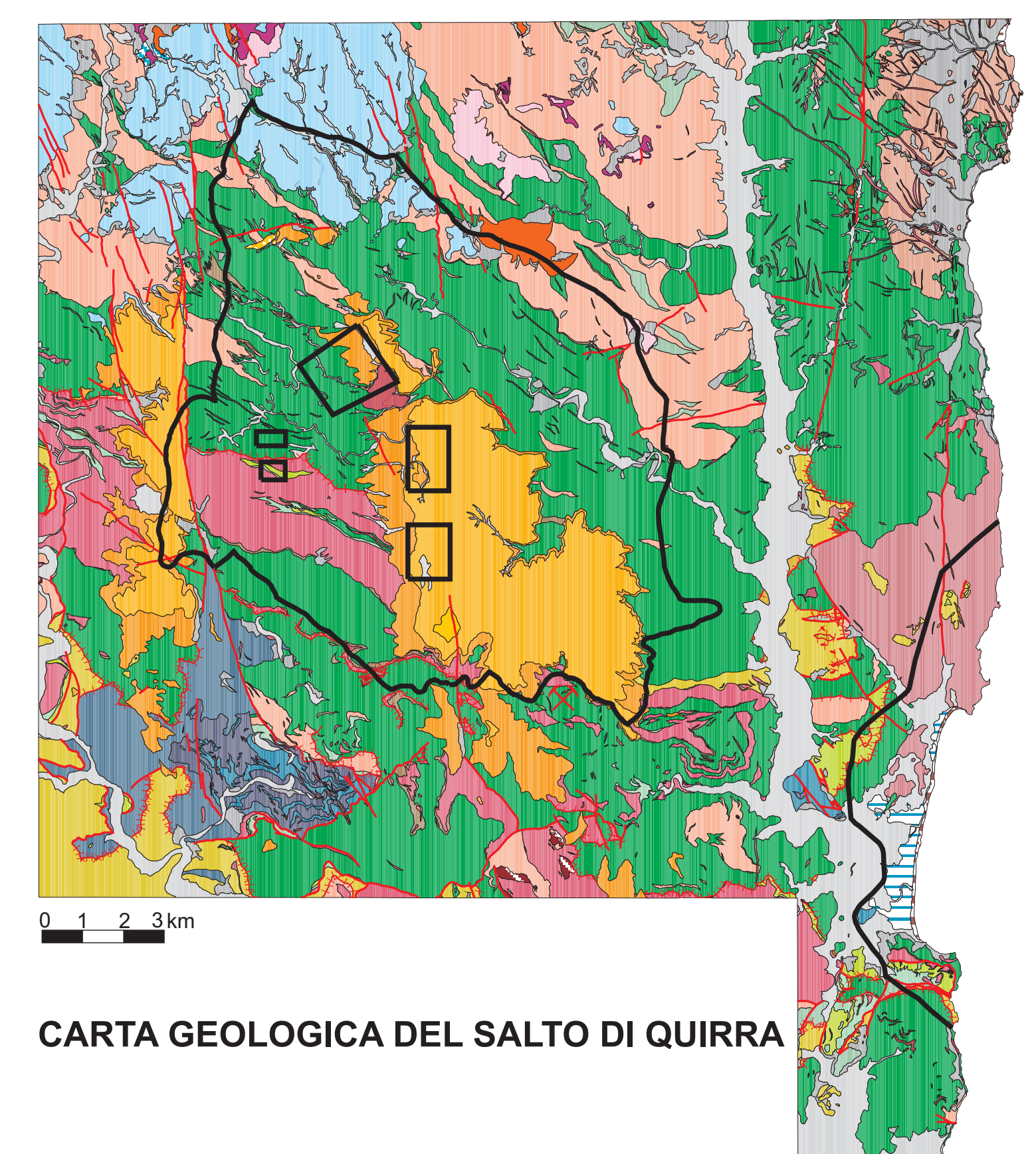
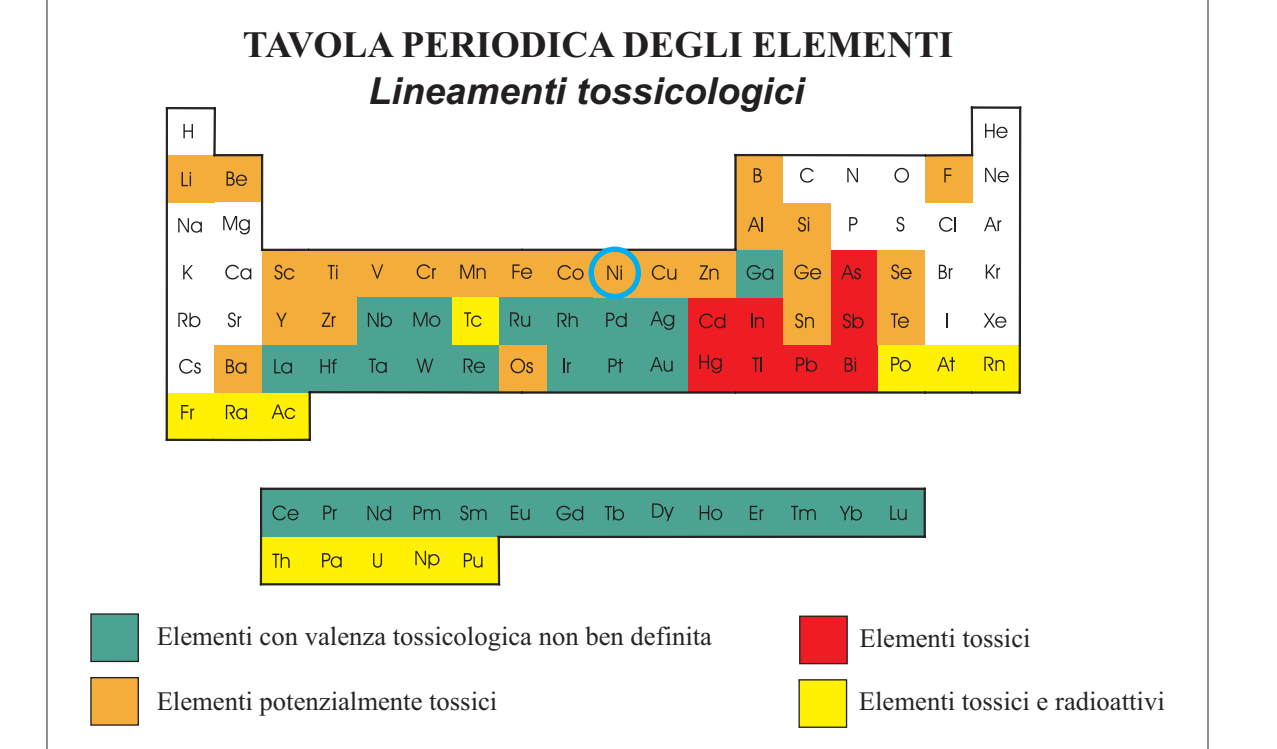
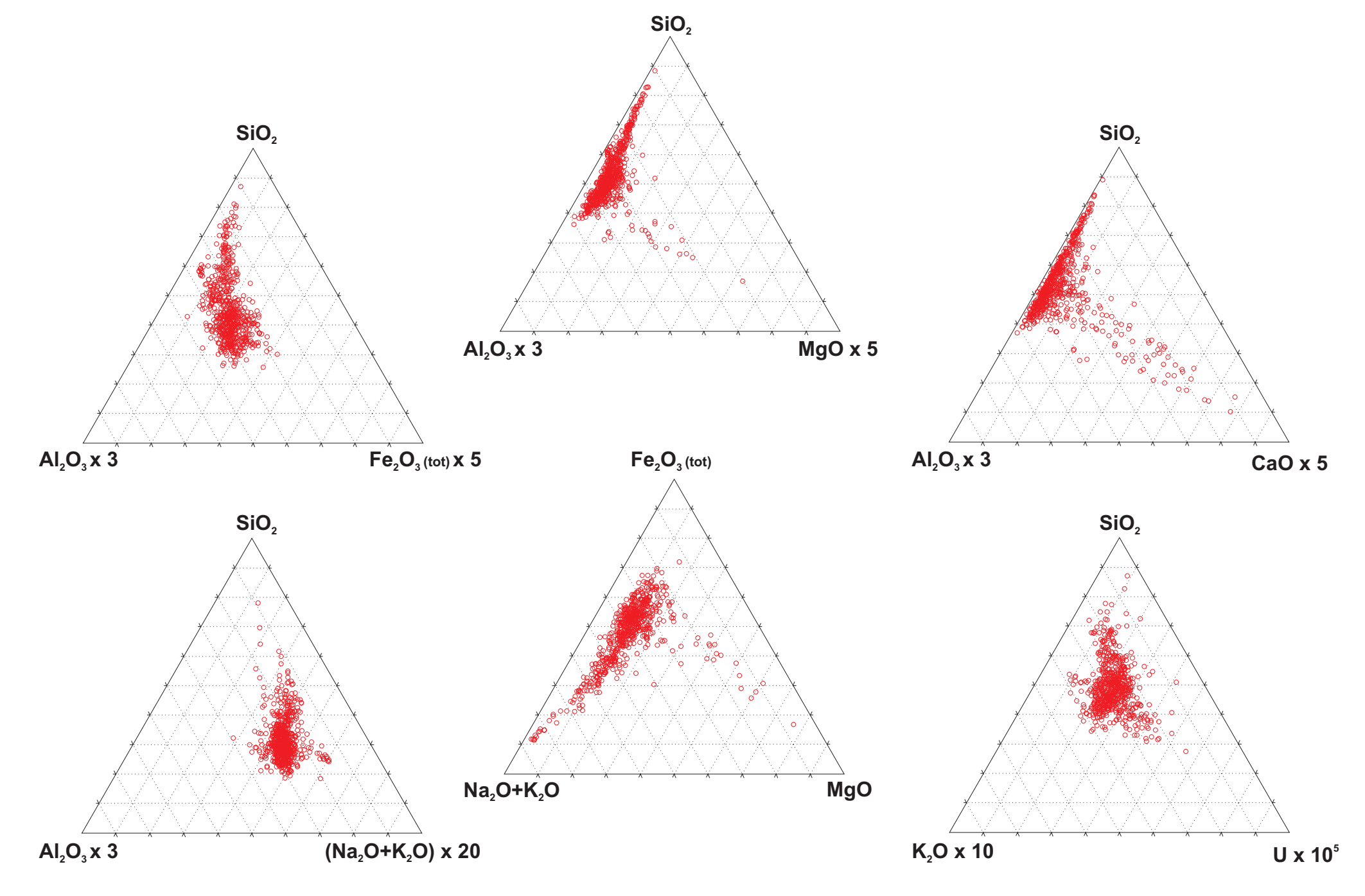
aree incontaminate	Canada <sup>(4)</sup>	3 - 115 mg kg <sup>-1</sup>
	Finlandia <sup>(5)</sup>	<2 - 60.1 mg kg <sup>-1</sup>
	Mondo <sup>(6)</sup>	20 mg kg <sup>-1</sup>
aree contaminate	Inghilterra (aree industriali) <sup>(7)</sup>	500 - 600 mg kg <sup>-1</sup>
	Canada (aree industriali) <sup>(8)</sup>	206 - 26000 mg kg <sup>-1</sup>
acque superficiali	acque oceaniche <sup>(9)</sup>	0.56 - 1.7 g L <sup>-1</sup>
	acque fluviali	0.3 g L <sup>-1</sup>
aria <sup>(10)</sup>	aree remote	0.08 - 3.2 mg m <sup>-3</sup>
	aree inquinate	<1 - 120 mg m <sup>-3</sup>

**piante<sup>(11)</sup>**

grano (radici)	8.6 mg kg <sup>-1</sup>	
(semi)	0.3 mg kg <sup>-1</sup>	
orzo (radici)	6.5 mg kg <sup>-1</sup>	
(semi)	0.2 mg kg <sup>-1</sup>	
lattuga (foglie)	1.2 mg kg <sup>-1</sup>	
uomo <sup>(12)</sup>	sangue	0.6 - 3.8 g L <sup>-1</sup>
	urina	0.1 - 3.9 g L <sup>-1</sup>

**Bibliografia**

(a) Greenwood, N.N., Earnshaw, A. (1985). Chemistry of the Elements. Pergamon Press, Oxford, pp. 1542.  
 (b) Anders, E., Ebihara, M. (1982). Solar-system abundances of the elements. Geochim. Cosmochim. Acta 46: 2363-2380.  
 (c) Taylor, S.R. (1964). Abundance of chemical elements in the continental crust: a new table. Geochim. Cosmochim. Acta 29: 1273-1285.  
 (d) Turekian, V.V. (1972). Chemistry of the Earth. Reinhold & Winston, New York, pp. 131.  
 (e) Garnett, R.G. (1997). Statistics for the prairie soil data set. Pers. comm.  
 (f) Turekian, V.V. (1997). Suomen pelkomaan geokemiallinen kartta: hankkeen 33 53 alustavat tulokset. Geological Survey of Finland, Acta Geologica 542/2000/1997, pp. 63 (in Finnish).  
 (g) Koljonen, T. (ed.) (1992). Geochemical Atlas of Finland, Part 2: TII. Geological Survey of Finland, Geotiet. Finland, pp. 218.  
 (h) Kabala-Pendias, A., Pendias, H. (1984). Trace Elements in Soils and Plants. CRC Press Inc., Boca Raton, Florida, 253 pp.  
 (i) Lide, D.R. (ed.) (1996). CRC Handbook of Chemistry and Physics, 77th edition, 1996-1997. CRC Press, Boca Raton, USA.  
 (j) Bowen, H.J.M. (1979). Environmental Chemistry of the Elements. Academic Press, London, pp. 333.  
 (k) Berggali, R. (1998). Trace Elements in Terrestrial Plants. Springer, Berlin, pp. 171.  
 (l) Mirona, C., Sabatini, E., Apolloni, P., Pietra, R., Pozzoli, L., Galorini, M., Nicotau, G., Alessio, L., Capolongo, E. (1980). Trace element reference values in tissues from inhabitants of the European Community I. A study of 46 elements in urine, blood and serum of Italian subjects. The Science of the Total Environment, 95: 69 - 105.



**LEGENDA**

Depositi eluviali (Olocene)	Complesso di Pala Manna (Carbonifero inf)
Depositi colluviali (Olocene)	Socià a Graptoliti (Siluriano - Devoniano medio)
Depositi di spiaggia (Olocene)	Complesso di Sa Lilla (Siluriano - ?Carbonifero inf)
Depositi lacustri (Olocene)	Complesso di Sa Lilla (Marmi) (?Siluriano - ?Carbonifero inf)
Travertini (Olocene)	Argillitosi di Rio Caroni (Ordoviciano sup)
Fm. di Ussana (?Oligocene sup - ?Miocene inf)	Metarosse di Genna Mesa (Ordoviciano sup)
Ghiare poligeniche Iorrali (Eocene sup)	Fm. di Ormeledu (Ordoviciano sup)
Fm. M.te Cardiga (Arosee) (Eocene inf)	Metadolenti (?Ordoviciano sup)
Fm. M.te Cardiga (Arenarie) (Eocene inf)	Porfidi Riodacitici (?Ordoviciano medio)
Fm. M.te Cardiga (Calcari) (Eocene inf)	Porfidi (Ordoviciano medio)
Fm. di Dorgali (Dogger - Malm)	Metarenane di Su Muzzoni (Ordoviciano medio)
Porfidi Quarziferi (Permiano)	Fm. di M.te Santa Vittoria (Ordoviciano medio)
Andesiti (Permiano inf)	Metaconglomerati di Muravera (Ordoviciano medio)
Fm. di Riu Su Luda (Permiano inf)	Arenarie di San Vito (Cambriano - Ordoviciano inf)
Granodiori (Carbonifero sup - Permiano)	Faglia
Tonaliti (Carbonifero sup - Permiano)	Sovrascarrimento
Filoni idrotermali (Carbonifero sup - Permiano)	Limite dei poligoni di Salto di Quirra
Filoni Basali (Carbonifero sup - Permiano)	Zone di sparo e test esplosivi
Porfidi Granitici (Carbonifero sup - Permiano)	Siti minerari
Leucograniti (Carbonifero sup - Permiano)	